

## VII-18 コンクリートの乾燥収縮に関する考察

九州大学 学生員 高垣泰雄

正員 松下博通

" " 徳光善治

### 1. まえがき

材料の乾燥収縮は多くの構造が複雑にからり合って生じていることがわかつ、いる。現実に問題となる中高湿度領域におけるコンクリートの乾燥収縮構造は、そのほとんどが等応性吸水性よりも細管張力による弾性変形および、その応力によって生じる等応性不可逆性の静水圧クリープ変形によるともいふ。また物理的吸着水の分離圧、脱着による固相の表面張力の変化もいくぶん影響を与えるようである。

筆者等は、従来の研究結果より次に述べる定性的考察論を得ている。(1)ペーストのセメント量当たりの収縮量  $t_u$  (乾燥収縮量を単位セメント量(%)で除した量、以下  $t_u$  と略す) は各材令において % と直線関係にある。(2)  $t_u$  は配合実験率  $G_c$  (骨材の絶対容積比、以下  $G_c$  と略す) が 30~70% 程度の範囲においては  $t_u$  によらず、各材令において一定であるが、同じ % のペーストの  $t_u$  よりも小さく。(3) 単一粒度の細骨材を用いたモルタルの乾燥収縮量は骨材の全表面積に比例する。本論文はこれららの結論に基づき、定量的にも考察をくわえたものであり、ほぼ満足する結論が得られたのでここに報告するものである。なお、乾燥収縮曲線は零点の選択を考慮して双曲線として実験式を求めた。これららの実験式は実測値とよく一致しているので、実験式に基づき考察を進めていく。

### 2. ペーストの乾燥収縮

結論①に述べられていくごとく縦軸に  $t_u$  を横軸に % を取ると各材令において  $t_u$  と % は直線関係にあり  $t_u = p\% + q \dots (1)$  で表現できる。この式は全収縮量  $t$  を用いて、 $C_t = t = pW + qC \dots (2)$  ( $W$ : 単位水量(%)) とも書きかえられる。これららの関係を最小二乗法によつて求めた結果を図-1 に示す。図-1 の結果より(2)式を参照して、乾燥収縮の経時変化はほぼ単位水量  $W$  の係数  $p$  によって定まっていることがわかる。しかしこれらのペーストは % の高いものほど、凝固時のブリーディング、プラスチックシェリーンケージが大きく、硬化後のペーストの % は当初予定していた % より低いものとなっている。これは脱型時の供試体重量が、予測されていた重量より大きい事からも裏づけされている。特に % = 80 のものは供試体重量より逆算すると % が 60% 程度となるが空気量もあるのではさだかではない。しかしこれらの事実を考慮すれば単位水量  $W$  の係数  $p$  はもつと大きな値であることが予測される。

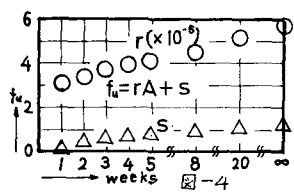
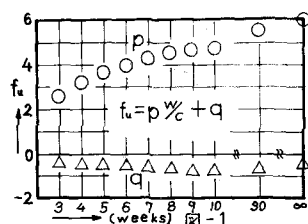
### 3. 連続粒度細骨材を用いたモルタルの乾燥収縮

図-2 に % = 50% の % を変化させたモルタルの実験式、特に  $t = 14$  をゼロとした % = 25 のモルタルの実験式、ならびに比較のため % = 50% のペーストの実験式を示す。

ペーストの乾燥収縮は前述した通り、所定の % が得られていない。従がつて実際の % = 50% のペーストの  $t_u$  曲線は、実験式よりいくぶん勾配の大きな曲線が推定される。図-2 から  $G_c$  が 30~70% 程度のモルタルでは  $t_u$  は  $G_c$  によらずほぼ一定になつていい事がわかる。% = 25 のモルタルの実験式が他をうわまわつていい。これは、 $G_c$  がほぼ 70% に近いためにフロー値も 107 と非常に小さく、供試体への詰込みが悪か、たためである。またモルタルの  $t_u$  の経時変化は 2 週間程度ペーストの  $t_u$  と大差ないが、それ以上になると

	$t_u$	$C$	$W$	$C$	$S$	実験式	収縮量
I.1	—	35	—	528.1507	—	$t_u = t / [31.80 + 0.7475(t - 1)]$	1.34
I.2	—	40	—	561.1402	—	$t_u = (t - 1) / [23.55 + 0.5496(t - 1)]$	1.82
I.3	—	50	—	615.1228	—	$t_u = (t - 2) / [15.61 + 0.3982(t - 2)]$	2.51
I.4	—	60	—	657.1095	—	$t_u = (t - 6) / [11.94 + 0.3132(t - 6)]$	3.19
I.5	—	80	—	719.898	—	$t_u = (t - 6) / [5.604 + 0.2461(t - 6)]$	4.06
II.1	—	1.0416	832	832	$t_u = (t - 3) / [9.812 + 0.6910(t - 3)]$	1.45	
II.2	—	2.0314	628	1257	$t_u = (t - 2) / [14.89 + 0.6534(t - 2)]$	1.53	
II.3	連続 (mm) III.3	50	2.5280	560.1400	$t_u = (t - 1) / [11.87 + 0.6718(t - 1)]$	1.49	
II.4		3.0252	505.1515	$t_u = (t - 2) / [11.91 + 0.6865(t - 2)]$	1.46		
II.5		4.0211	422.1688	$t_u = (t - 1) / [8.673 + 0.6625(t - 1)]$	1.51		
III.1	25~50	—	—	$t_u = (t - 3) / [11.87 + 0.778(t - 3)]$	1.29		
III.2	1.2~25	—	—	$t_u = (t - 3) / [11.91 + 0.7333(t - 3)]$	1.36		
III.3	0.6~1.2	50	2.5280	560.1400	$t_u = (t - 2) / [11.03 + 0.6774(t - 2)]$	1.48	
III.4	0.3~0.6	—	—	$t_u = (t - 1) / [9.237 + 0.5990(t - 1)]$	1.67		
III.5	0.15~0.3	—	—	$t_u = (t - 1) / [5.598 + 0.5592(t - 1)]$	1.79		

表-1



きく差が開いてくることをわかる。  
これはペーストが等方等質材料であるのに対し、 $G_0$ が30~10%の範囲のモルタルは完全な複合材料であるため、毛細管張力による変形機構の差違によるものであると考えている。

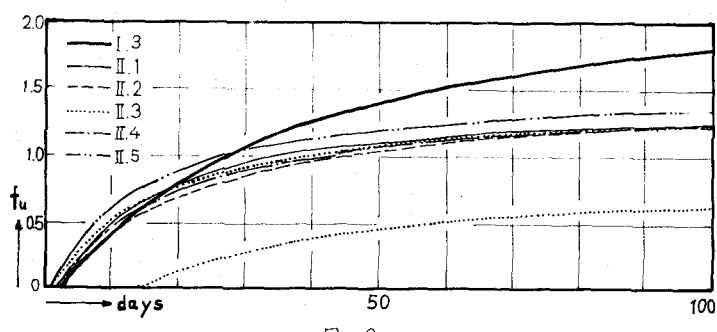


図-2

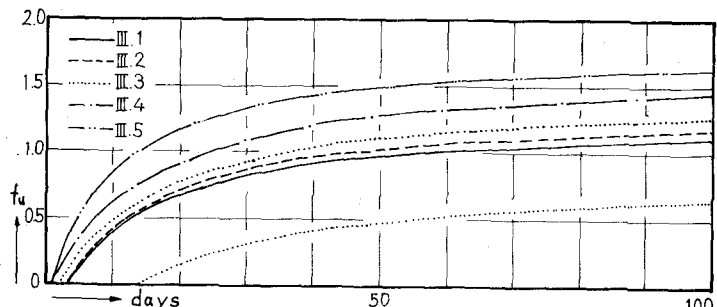


図-3

#### 4. 単一粒度細骨材を用いたモルタルの乾燥収縮

図-3に $\gamma\% = 50\%, \gamma = 25$ で細骨材の粒度を変化させたモルタルの実験式、特に $t = 14$ をゼロとした粒度0.6~1.2 mmのモルタルの実験式を示す。図-3のそれと本の $f_u$ 変化曲線と比較すると、次のような重要な事実がわかる。つまり $f_u$ は $t = 14$ 以後において、骨材の粒度によらずほぼ同様の変化曲線を示す。換言するならば骨材の粒度の影響は、そのほとんどが $t = 14$ までの初期の変化に寄与していると言ふことである。結論の(3)に述べられることは、(3)式の横軸に $f_u$ 横軸に単位容積中の細骨材を完全球体として算出した全表面積 $A$ (cm²)をとると、両者の関係は直線関係にあり各材令において $f_u = rA + s \dots (3)$ と表現できる。0.15~0.3 mmの粒度の細骨材を用いたモルタルの実験式は、 $t = 20$ 程度より前述の直線関係よりはずれ、小さな値を示している。これはこのモルタルのフロー値が106と非常に小さく、供試体打設時の詰込みがあるが、そのためであろう。従が、 $t = 20$ ~0.3 mmの粒度の細骨材を用いたモルタル以外の他の4種のモルタルの実験式より最小二乗法にて係数 $r$ ,  $s$ を算出した。その結果を図-4に示す。Aの係数 $r$ が次第に大きくなっている。これは骨材表面の物理的吸着水の影響があらわれてあると推定される。(3)式の関係から建築粒度細骨材を用いたモルタルの $f_u$ 変化は、その細骨材の粒度分布より单一粒度細骨材を用いたモルタルの実験式を重ね合わせることにより、ほぼ推定される。ちなみに $\gamma\% = 50\%, \gamma = 25$ で建築粒度の細骨材を用いたモルタルの $f_u$ の収束値を計算すると1.60となる。実際の実験式の収束値は1.49であり、その誤差は6%程度であった。この計算を各材令についてあこなうと計算値は常に実験式の値を上まわる。これは単一粒度細骨材を用いたモルタルが建築粒度細骨材を用いたモルタルに比べて供試体への詰込みが悪くなるが大きくなっているのである。重ね合せが一致していることは図-2の $t = 14$ 以後の $f_u$ 変化が図-3のそれと $f_u$ 変化とはほぼ同様であることをうもわかる。ここで(3)式は $\gamma = 25$ の時に成立する式であるが、結論(3)より、 $G_0$ によらないと仮定すると次式が成立する。 $f_u = r(\alpha_i / \alpha_0) + s \dots (4)$ ,  $\alpha_i = 1$  ( $\alpha_0$ ; ふるい目 $i$ と $i+1$ 間の粒度の細骨材の全量に対する割合,  $\alpha_0 \sim \alpha_i$ 間の面積体積平均粒径) この式の適合性は本実験ではよく一致している。

参考文献；1) 建築材料の乾燥収縮構造；岸谷S, セメントコンクリート, No.346 Dec. 1975

2) コンクリートの乾燥収縮に対する配合の影響；(以下) 第30回年次学術講演概要集 V-55

3) ポリマーの配合と乾燥収縮の関係について；日本セメント株式会社研究所, セメント工業 1974年 11月号

4) 粉体の配合に關する；佛光善治, 粉体工学 1965年 9月号